



# COMPTONOVA KAMERA

Dejan Žontar

Odsečni seminar

- Uvod
  - Uporaba - kje in zakaj?
  - Obstoječi detektorji
  - SPECT kolimacija
- Osnove delovanja
  - Comptonov efekt
  - SPECT
  - PET
- Silicij kot sipalni detektor
  - Energijska ločljivost
  - Pozicijska ločljivost
  - Izkoristek
  - Čitalna elektronika
- Dosedanji rezultati
  - SPECT
  - PET
- Načrti
- Zaključek





# Uvod: Uporaba - kje in zakaj?

## Slikanje v jedrski medicini

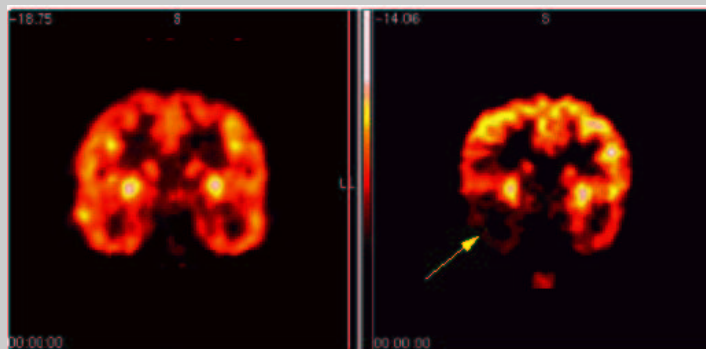
Z radioaktivnim izotopom (tracer) označeno spojino vmesemo v telo, kjer se akumulira v specifičnih predelih.

Področja uporabe:

- medicinska diagnostika (slikanja organov, tumorjev...)
- medicinske raziskave (metabolizem, delovanje organov...)
- biološke raziskave (izražanje genov, raziskave in-vivo...)

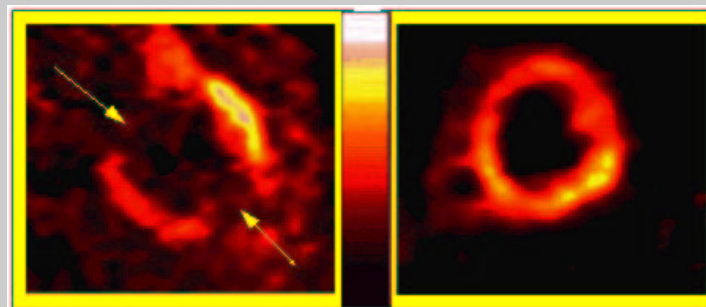
Osnovni parametri:

- Energijsko območje:  $E_{\gamma} \approx 80 - 511 \text{ keV}$
- Tipični objekti:
  - zvezni,  $2R < 30 \text{ cm}$
  - nizek kontrast
- 3D rekonstrukcija



Zdravi možgani

Epilepsija

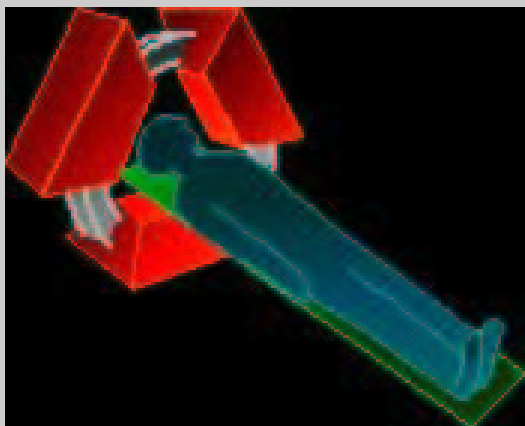


Srčna kap

Zdravo srce

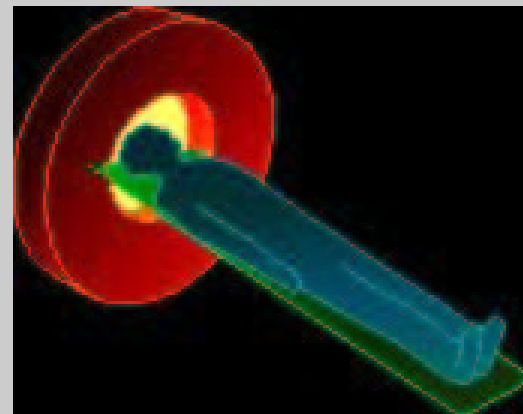


## Uvod: Obstoječi detektorji



### SPECT (Single Photon Emission Computed Tomography)

- Izsevan 1 foton - potrebna kolimacija
- Zelo slaba občutljivost ( $\approx 10^{-4}$ )
- Slaba prostorska ločljivost ( $\approx 8$  mm)
- Ločljivost se slabša z naraščajočo  $E_\gamma$
- Dostopna cena



### PET (Positron Emission Tomography)

- Izsevana 2 fotona - kolimacija ni potrebna
- Dobra prostorska ločljivost (do  $\approx 2$  mm)
- Visoka cena
- Označevalci s kratko življ. dobo (nekaj minut) ( $^{11}\text{C}$ ,  $^{13}\text{N}$ ,  $^{15}\text{O}$ )

# Uvod: SPECT kolimacija

Vsi obstoječi medicinski SPECT sistemi uporabljajo **mehansko kolimacijo** (Angerjeva kamera).

## Mehanska kolimacija

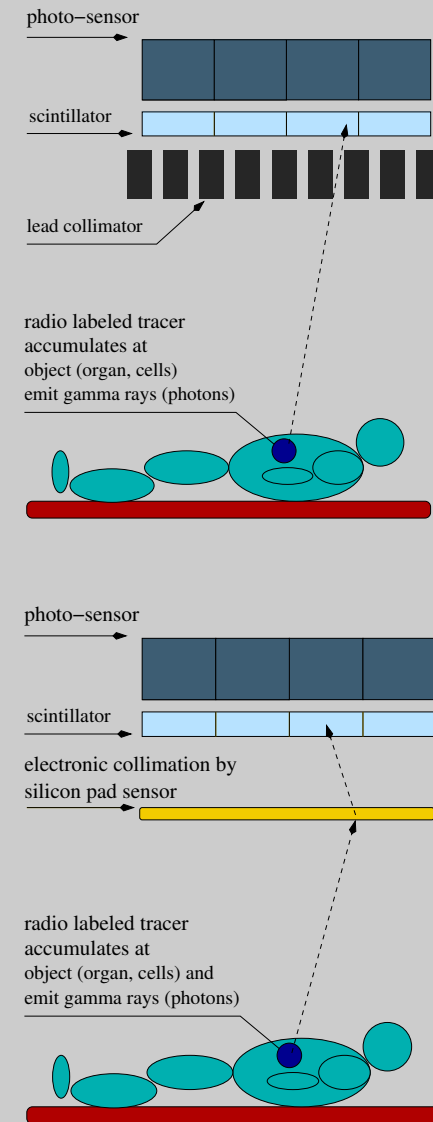
- sklopitev med izkoristkom in prostorsko ločljivostjo detektorja
- slaba pri velikih  $E_\gamma$  (> nekaj 100 keV)

## Elektronska kolimacija (Comptonov efekt)

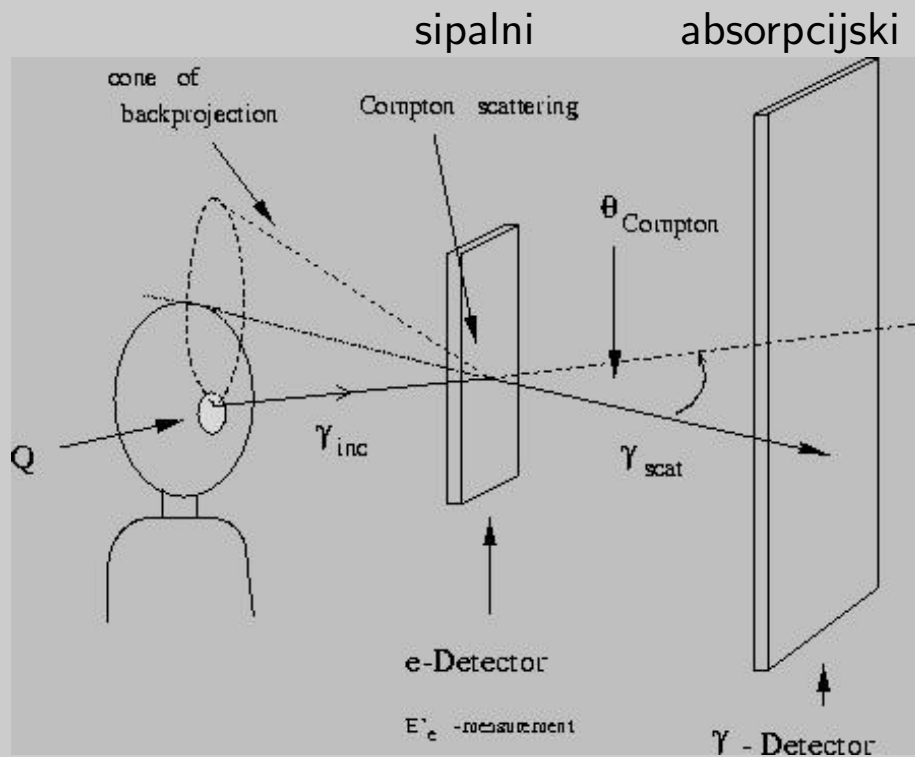
- namesto kolimatorja sipalni detektor
- ni sklopitve izkoristek/ločljivost
- boljši odziv za večji  $E_\gamma \rightarrow$  razvoj novih označevalcev



## Comptonova kamera

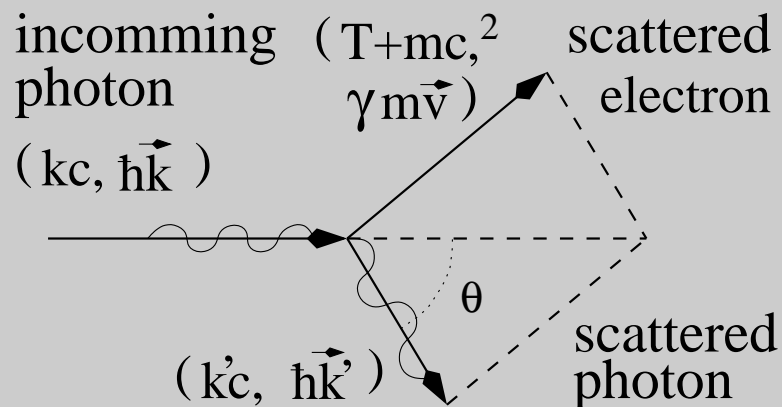


# Osnove delovanja: Comptonov efekt



Comptonova kamera sestavljena iz dveh detektorjev:

- **Sipalni detektor**  
Vpadni foton se comptonsko siplje.
  - velik presek za comptonsko sipanje (Si, Ge)
  - visoka energijska ločljivost
  - dobra krajevna ločljivost
- **Absorpcijski detektor**  
Sipani foton se absorbira.
  - velik absorpcijski presek za (nekaj) 100keV  $\gamma$  (BGO, NaI, CsI)
  - dobra krajevna ločljivost
  - običajno scintilator



Izmerimo:

- točko interakcije v sipalnem detektorju
- točko interakcije v absorpcijskem detektorju
- energijo comptonskega elektrona  
→ sipalni kot

Kinematika → sipalni kot  $\Theta$ :

$$\cos \Theta = 1 - \frac{E_{dep}}{\frac{E_\gamma}{m_e c^2} (E_\gamma - E_{dep})}$$

- $E_\gamma$  - energija vpadnega fotona
- $E_{dep}$  - energija, deponirana v sipalnem detektorju

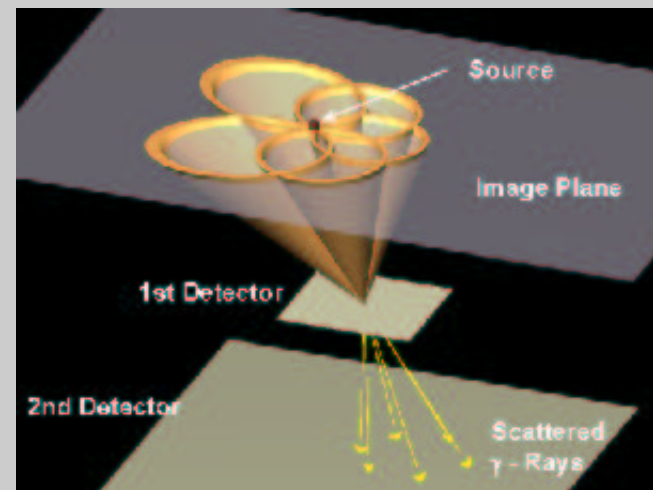
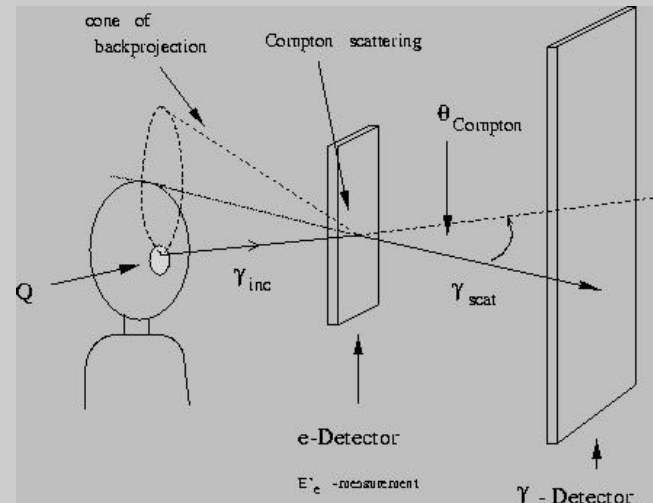
# Osnove delovanja: SPECT

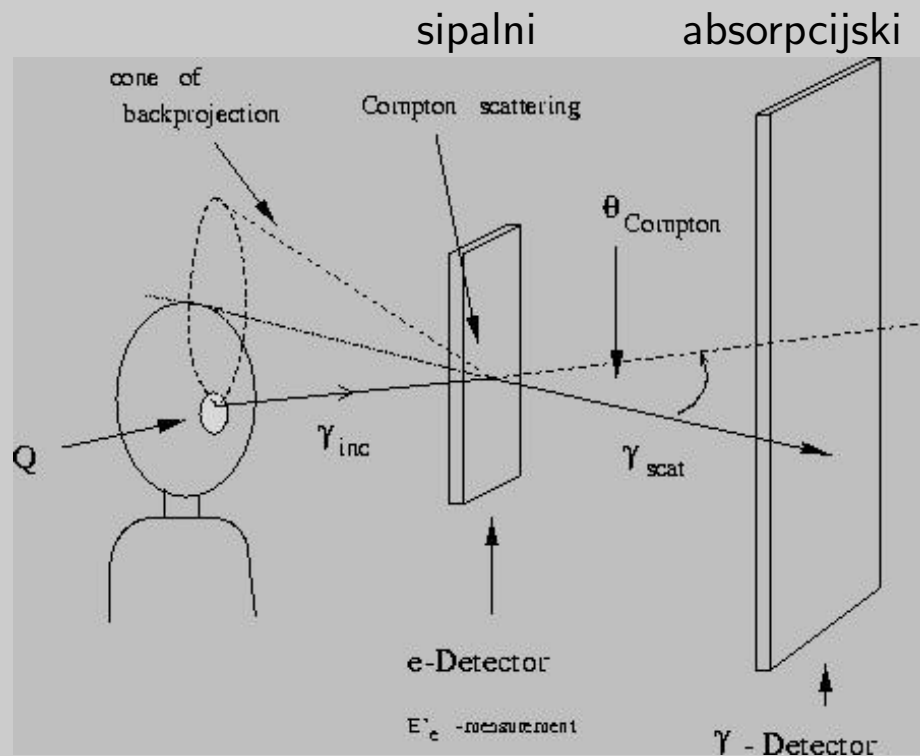
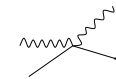
točka v sipalnem detektorju  
+  
točka v absorpcijskem detektorju  
⇓  
smer sipanega fotona  
+  
sipalni kot  
⇓  
možne smeri vpadnega fotona  
(plašč stožca)

presečišča stožcev  
(iz več dogodkov)  
⇓  
položaj sevalca

Napaka rekonstrukcije odvisna od:

- pozicijske ločljivosti sipalnega det.
- pozicijske ločljivosti absorpcijskega det.
- energijske ločljivosti sipalnega det
- geometrije (razdalj)





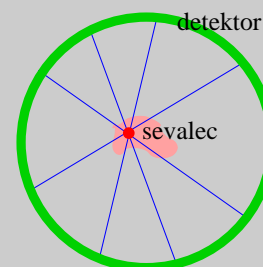
Comptonova kamera sestavljena iz dveh detektorjev:

- **Sipalni detektor**  
Vpadni foton se comptonsko siplje.
  - velik presek za comptonsko sipanje (Si, Ge)
  - visoka energijska ločljivost
  - dobra krajevna ločljivost
- **Absorpcijski detektor**  
Sipani foton se absorbira.
  - velik absorpcijski presek za (nekaj) 100keV  $\gamma$  (BGO, Nai, Xe)
  - dobra krajevna ločljivost
  - običajno scintilator



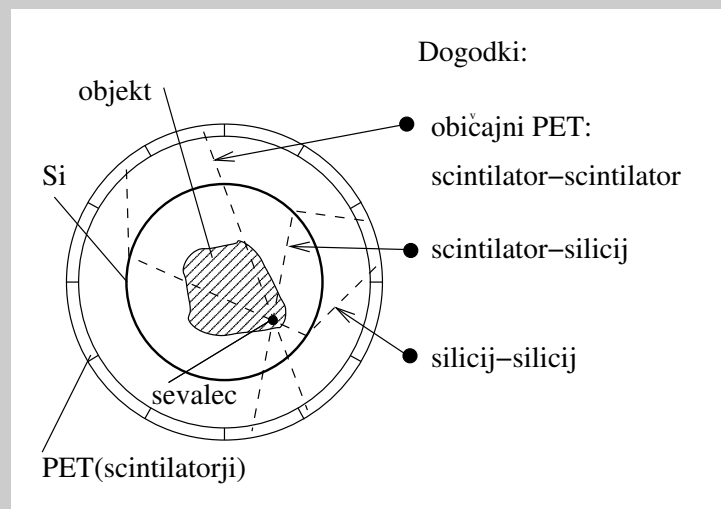
# Osnove delovanja: PET

Anihilacija pozitrona → dva skoraj kolinearna fotona  
→ kolimacija ni potrebna



Glede na kraj interakcije fotonov ločimo tri tipe dogodkov:

- Oba interagirata v sipalnem detektorju
  - slab izkoristek
  - prostorska ločljivost mnogo boljša od obstoječih sistemov
- En interagira v sipalnem detektorju, drugi le v absorpcijskem
  - boljši izkoristek
  - prostorska ločljivost boljša od obstoječih sistemov
- Oba interagirata le v absorpcijskem detektorju
  - visok izkoristek
  - prostorska ločljivost enaka obstoječim sistemom





## Silicij kot sipalni detektor

### Prednosti silicija:

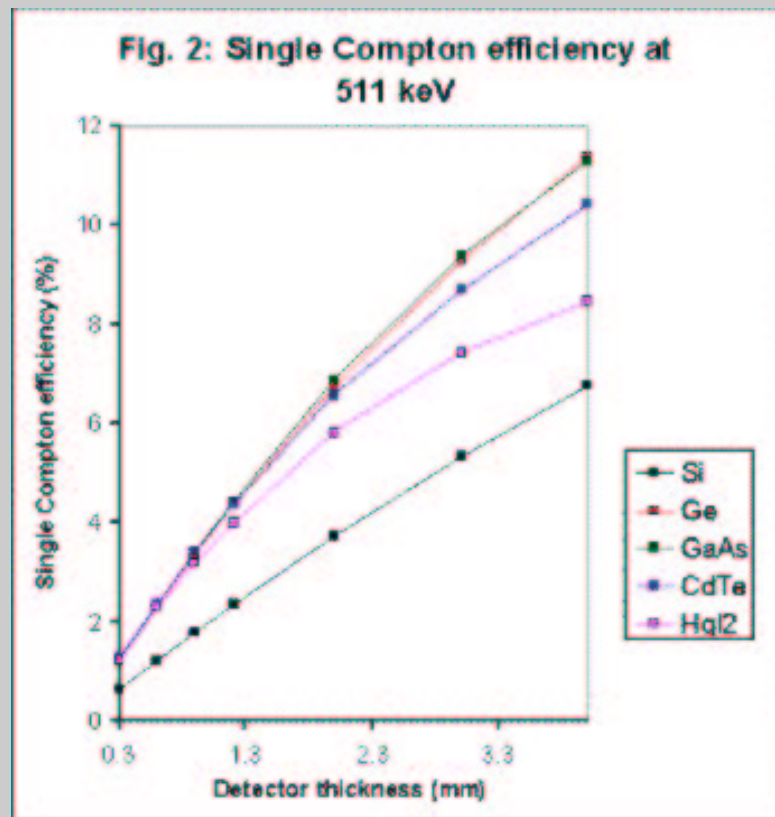
- visoko razmerje  $\sigma_{compt}/\sigma_{tot}$  (blizu 1)
- dobro razvita tehnologija
- delovanje pri sobni temperaturi

### Slabost:

- za enak izkoristek potreben 2.5x debelejši detektor kot za Ge.

### Bistveni parametri detektorja:

- krajevna ločljivost
- energijska ločljivost
- izkoristek





## Silicij kot sipalni detektor: Krajevna ločljivost

Krajevna ločljivost določena z:

- granulacijo detektorja
- dosegom comptonskega elektrona ( $\approx 300 \mu\text{m}$ )

Najbolj fina še smiselna granulacija torej  $300 \mu\text{m}$ .

Z obstoječo tehnologijo brez težav dosegamo znantno bolj fino granulacijo.

V praksi **granulacija omejena s številom kanalov**  $\rightarrow$  tipično  $\approx 1 \text{ mm}$ .



## Silicij kot sipalni detektor: Energijska ločljivost

Energijska ločljivost detektorja omejena z:

- zapornim tokom detektorja
  - tipično  $\approx 0.4 \text{ nA/pad} \rightarrow 95 e^-$  (2  $\mu\text{s}$  shaping, 1-2  $\text{mm}^2$  pads,  $d=300 \mu\text{m}$ )
  - dosežejo že  $\approx 0.01 \text{ nA/pad} \rightarrow 15 e^-$  (2  $\mu\text{s}$  shaping, 2  $\text{mm}^2$  pads,  $d=300 \mu\text{m}$ )
- šumom elektronike
  - tipično  $\approx 4 \text{ pF/pad} \rightarrow 40 e^- + 12 e^-/\text{pF} = 90 e^-$  (2  $\text{mm}^2$  pads,  $d=300 \mu\text{m}$ )

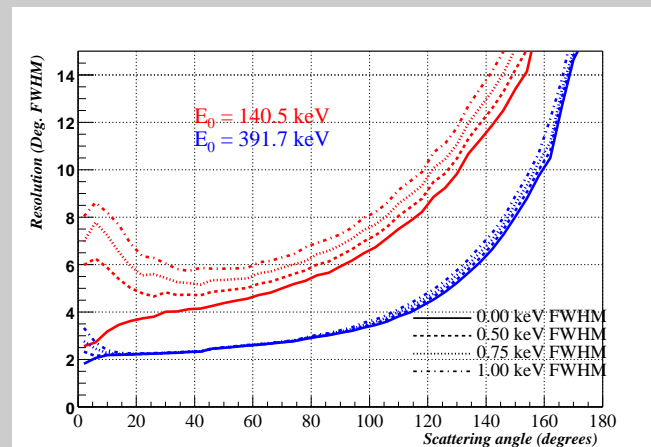
Poleg šuma detektorja še Dopplerjeva razširitev:

- posledica sipanja na vezanih  $e^-$  z  $v \neq 0$
- za  $E_\gamma=140 \text{ keV}$ ,  $\theta=45^\circ$   $\Delta E_{dop} \approx 0.9 \text{ keV}$
- pada s sipalnim kotom

Obstoječi sistemi dosegajo  $\Delta E_{det} \approx 2 \text{ keV FWHM}$ .

- SPECT: cilj  $\Delta E_{det} \approx 1 \text{ keV FWHM}$  (130  $e^-$ )
- PET: sprejemljiv tudi šum več 100  $e^-$  ENC

Ker je napaka na kotu odvisna od relativne napake pri merjenju energije je vpliv šuma manjši za višje  $E_\gamma$ .



$$\Delta\theta = 2^\circ \rightarrow \Delta x = 3.5 \text{ mm} @ 10 \text{ cm}$$



# Silicij kot sipalni detektor: Izkoristek

Izkoristek določen z:

- debelino detektorja
- geometrijo detektorja (pokritim prostorskim kotom)

Optimalna debelina: 16 mm

Debelina Si modula:

nekaj 100  $\mu\text{m}$  do dobrega mm



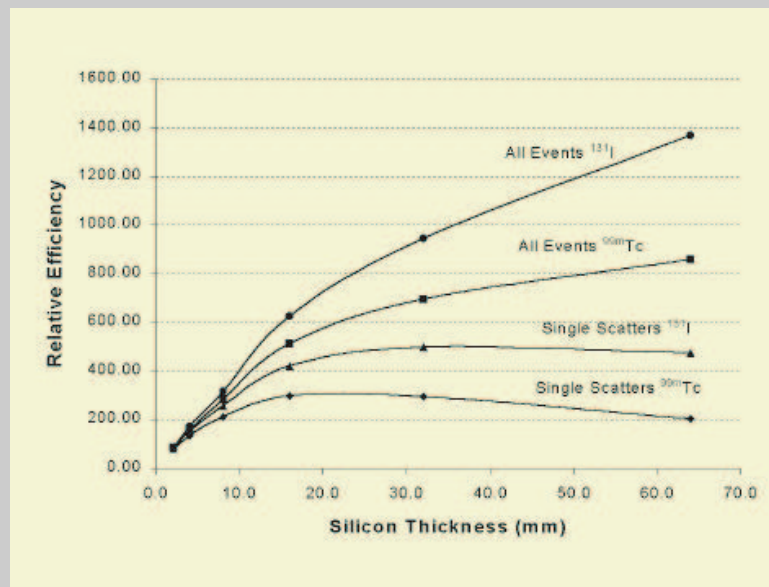
potrebni več plasti

Debelejši moduli:

- večja  $V_{dep}$
- potencialno večji  $I_{zap}$
- za procesiranje potrebna ustrezna oprema

R&D: zaželjeno vsaj 500  $\mu\text{m}$

Končni proizvod: cilj 1000-1500  $\mu\text{m}$

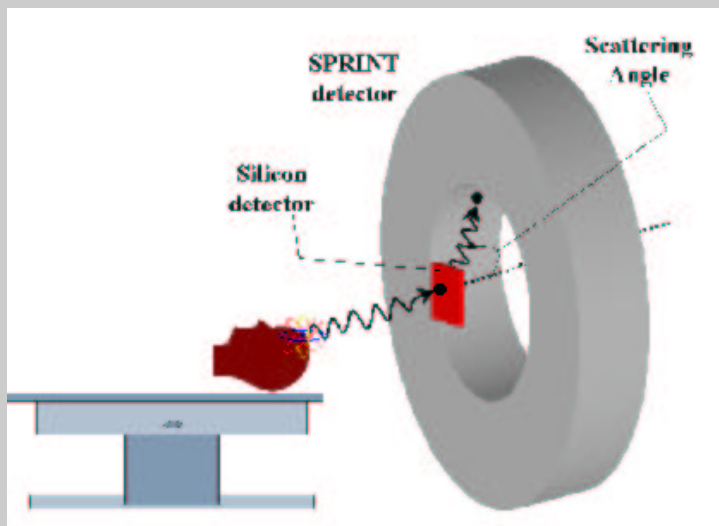
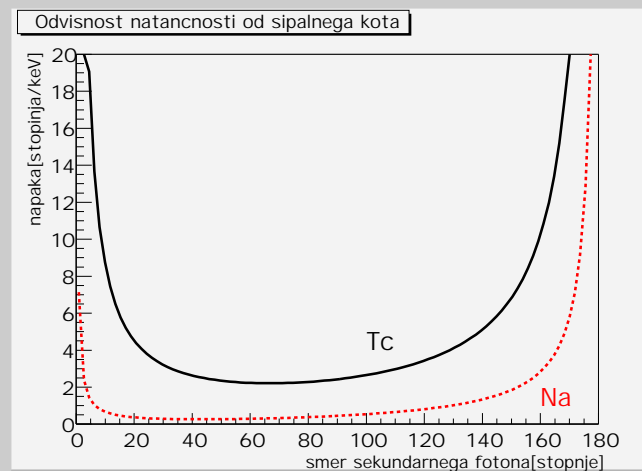


Izkoristek Si glede na kolimator za  $^{99m}\text{Tc}$  (140 keV) in  $^{131}\text{I}$  (364 keV)



## Geometrija detektorja: SPECT

- želimo se izogniti direktnim fotonom v scintilatorju (**visok rate**)
- želimo zajeti comptonsko sipane fotone
- napaka na rekonstrukciji odvisna od sipalnega kota
- pokrivamo kote z majhno napako:
  - $^{99m}\text{Tc}$  (140 keV):  $40^\circ\text{-}120^\circ \rightarrow 50\%$
  - $^{22}\text{Na}$  (511 keV):  $20^\circ\text{-}140^\circ \rightarrow 80\%$

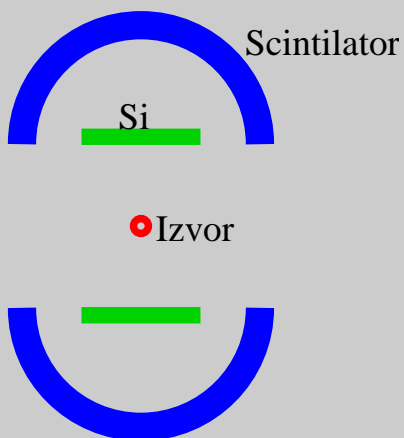
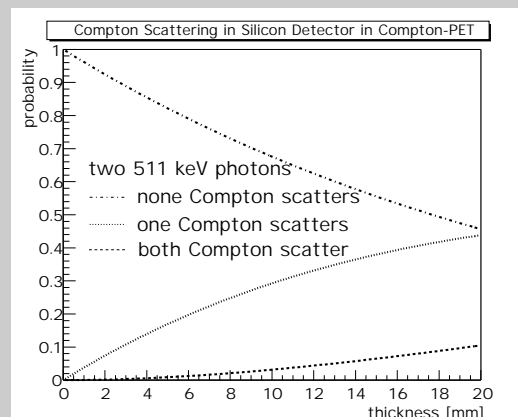




## Geometrija detektorja: PET

Izhodiščne zahteve:

- čim večji izkoristek za dvojne Si zadetke (VHR)
- ne želimo večkratnega sipanja v Si
- čim večji izkoristek za Si-scintilator zadetke (GR)



Najugodnejša je 'geometrija gume'  
(pokriva sipalne kote do  $90^\circ$ )



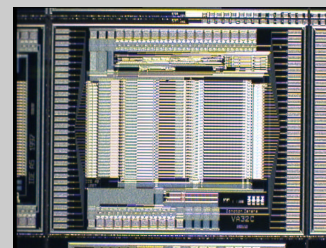
# Silicij kot sipalni detektor: Čitalna elektronika

Zahteve za čitalno elektroniko:

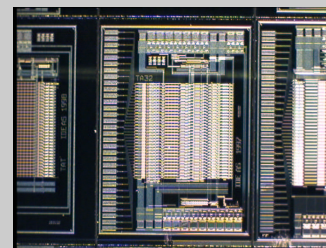
- nizek šum
- samostojno proženje
- hitrost

Čip VATA32C (VLSI CMOS, 32 kanalov):

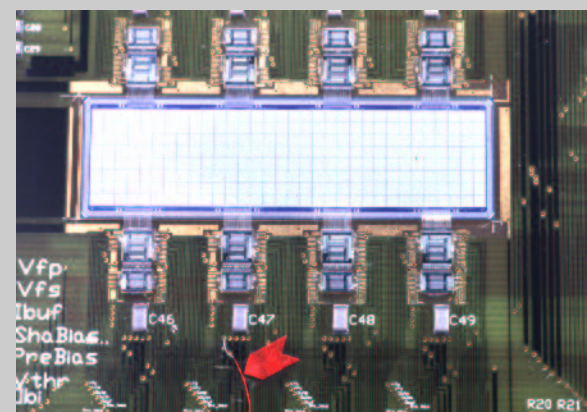
- VA32C
  - predojačevalec
  - počasni shaper ( $\approx 2 \mu\text{s}$  peaking time)
  - sample-and-hold
  - multiplekser
- TA32CG
  - hitri shaper (75 ns peaking time)
  - diskriminator
  - nastavljivo ojačanje
  - nastavljiv osnovni nivo
- načrovana širitev na 128 kanalov
- načrtovan prehod na  $.35 \mu\text{m}$  tehnologijo
  - manjši tok v predojačevalniku  $\rightarrow$  manjši šum?
  - manjša poraba  $\rightarrow$  manjše gretje



VA32C



TA32CG



Detektor z elektroniko



## Dosedanji rezultati: SPECT

### Simulacija

Izkoristek **nekaj  $100\times$  večji** od Angerjeve kamere

Decoding penalty (rekonstruiramo plašč stožca in ne linijo)

- Raste z velikostjo slikanega predmeta
- Pada z izboljšano energijsko ločljivostjo
- Pada z energijo vpadnega fotona
- Decoding penalty za disk z  $r=7.5$  cm:
  - $^{99m}\text{Tc}$ ,  $\Delta E_{det}=750$  eV:  $\approx 40$
  - $^{99m}\text{Tc}$ ,  $\Delta E_{det}=0$  eV:  $\approx 20$
  - $^{364}\text{I}$ ,  $\Delta E_{det}=750$  eV:  $\approx 1$



Pričakujemo opazno izboljšanje glede na Angerjevo kamero.



## Eksperimentalni sistem C-SPRINT

Si: blazinice  $1.4 \times 1.4 \text{ mm}^2$ ,  $d=300 \text{ }\mu\text{m}$ ,  
 $\Delta E_{det} \approx 2 \text{ keV}$

Scintilator: obroč obstoječega SPECT sistema z odstranjenim kolimatorjem (geometrija ni optimizirana)

Ločljivost za  $^{99m}\text{Tc}$  točkovni izvor  $\approx 1.4 \text{ mm}$  FWHM.

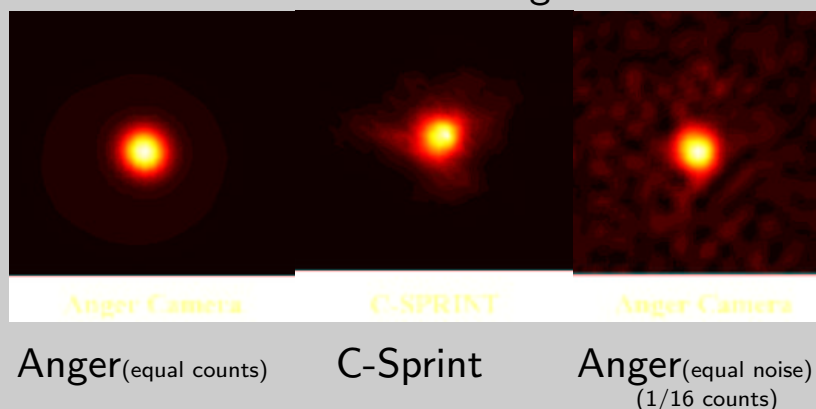


Rezultati za opisani sistem slabši kot za Angerjevo kamero.

Ujemanje s simulacijo:

- zadovoljivo ujemanje izkoristka
- dobro ujemanje prostorske ločljivosti

slike  $^{99m}\text{Tc}$  točkovnega izvora

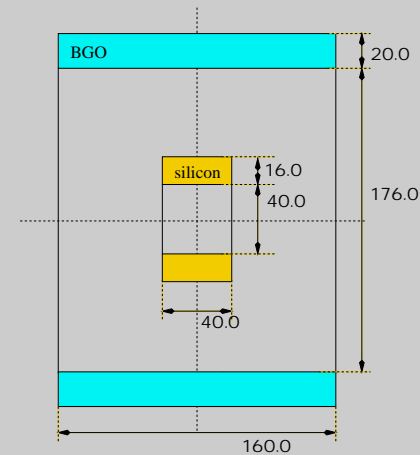


# Dosedanji rezultati: PET

## Simulacija

Si: obroč  $2R=40\text{ mm}$ ,  $l=40\text{ mm}$ ,  $d=16\text{ mm}$ ,  
granulacija  $0.3 \times 0.3 \times 1\text{ mm}^3$

Scintilator (BGO): obroč  $2R=176\text{ mm}$ ,  
 $l=160\text{ mm}$ ,  $d=20\text{ mm}$ , granulacija  $3 \times 3 \times 20\text{ mm}^3$

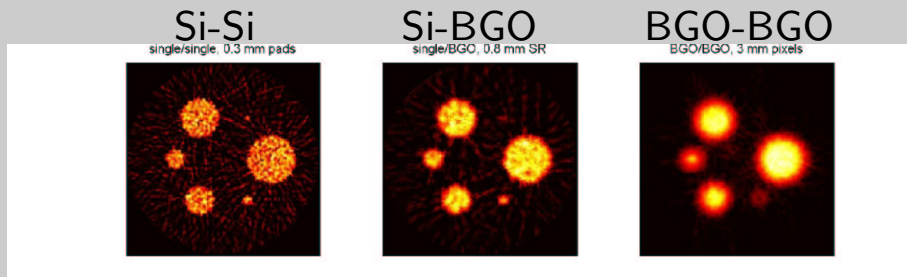


### Ločljivost:

- Si-Si dogodki: opazno boljša od obstoječih VHR PET
- Si-BGO dogodki: nekoliko boljša od obstoječih VHR PET
- BGO-BGO dogodki: nekoliko slabša od obstoječih VHR PET

### Izkoristek:

- Si-Si dogodki: nekoliko slabši od obstoječih VHR PET
- Si-BGO dogodki: nekoliko boljši od obstoječih VHR PET
- BGO-BGO dogodki: opazno boljši od obstoječih VHR PET



	Si-Si (VHR)	Si-BGO (HR)	BGO-BGO (LR)
Res. (FWHM)	190 $\mu\text{m}$	570 $\mu\text{m}$	1.75 mm
Izkoristek	1.1%	8.8%	20.8%



## Eksperimentalni sistem

Si: 2 detektorja

- blazinice  $1.4 \times 1.4 \text{ mm}^2$
- debelina  $300 \mu\text{m}$

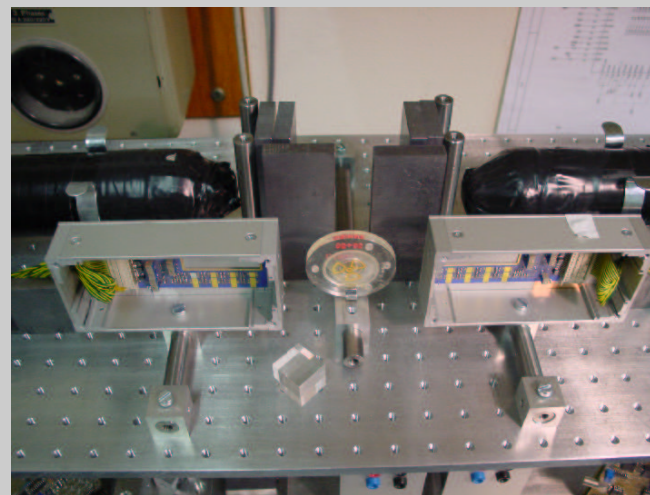
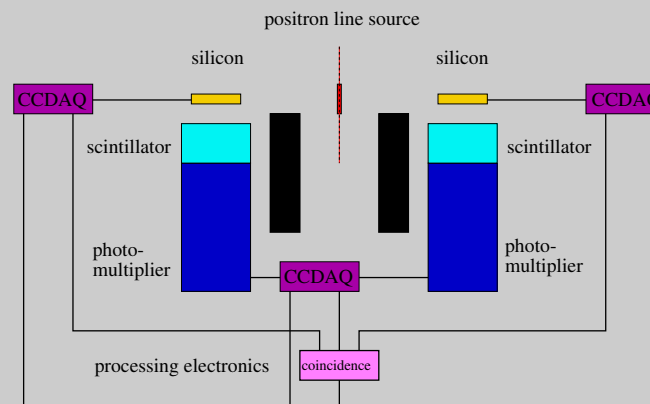
Scintilator: načrtovana 2 scintilatorja

- senčena pred izvorom
- v neposredni bližini Si

Meritve:

- $\Delta E_{det} = 2.45 \text{ keV}$
- Časovna ločljivost  $1.9 \text{ ns FWHM}$

Drugi rezultati???



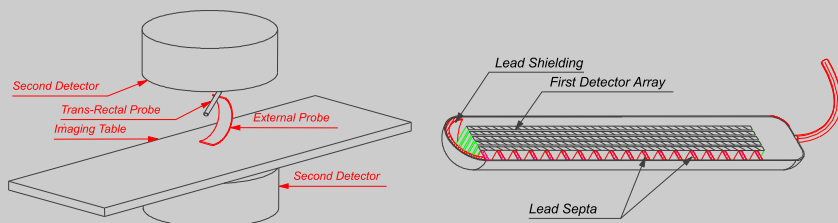


Dolgoročno razvoj usmerjen v izdelavo dveh specializiranih detektorjev:

- sonda za prostato
- VHR PET za male živali

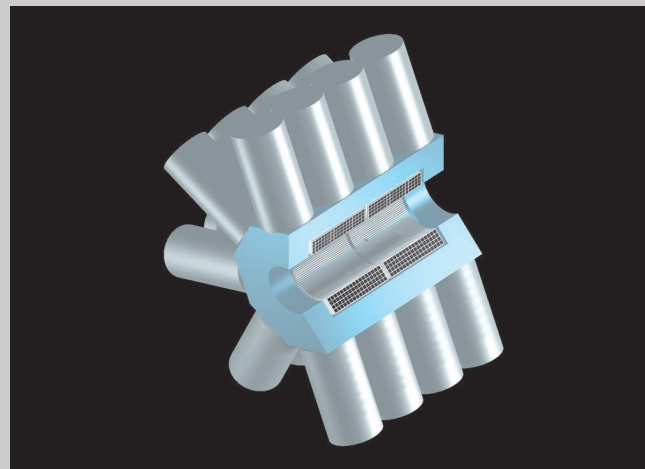
## Sonda za prostato

- 1. faza: izgradnja in testiranje delujočega sistema
- 2. faza: optimizacija zlaganja Si senzorjev v sondi in izboljšanje hlajenja
- 3. faza: klinično testiranje
- 4. faza: komercializacija



## VHR PET za male živali

- 1. faza: eksperimentalna potrditev koncepta
- 2. faza: izgradnja delujočega PET sistema
- 3. faza: izgradnja prototipa naprave
- 4. faza: komercializacija





## Zaključek

Comptonova kamera ponuja možnost za **znantne izboljšave** slikanja v nuklearni medicini.

Izdelava konkurenčnega sistema še vedno predstavlja resen **tehnološki izziv**.

Trenutni načrti usmerjeni v **specializirane aplikacije**

- **PET za male živali**
- **sonda za prostato**

Simulacije in prvi eksperimentalni rezultati kažejo, da so **zastavljeni cilji dosegljivi**.